

神大 工学部 正員 松梨順三郎
(株)建設技術研究所 正員 ○須田 文夫

主ながき

河川の河床変動の問題は、河道計画上、あるいは河川構造物設計上重要な問題である。これを定量的に解析することに対する実際面からの要請も大きい。この課題に対する主な問題点は次の通りである。
① 流砂関数、および補給上砂の問題。
② 流域内の不連続点(セキ、落差工、底固め等)や、支配断面の問題。
③ 河床に生じるSand Waveによる粗度係数の変化の問題。
④ 河川の蛇行、河幅変化効果の問題。
⑤ 数値解析の手法、精度の問題、等である。本研究は川幅の変化に伴う河床変動の動向を探ることを目的として、簡単な河幅変化とともに水路を設定し、計算モデルによて④、⑤に対して検討しようとするものである。

1 基礎式と特性曲線法

図-1のように、流れ方向にx軸、その鉛直方向にz軸とする。水路は矩形断面とし、川幅Bはそのみの関数で、 $x = 0$ の点で、河床は固定床とする。未知量として、平均流速u、平均水深h、平均河床高Eの3つとする。計算モデルに対する基礎式は、水の運動方程式および連続式として、

$$\frac{\partial u}{\partial t} + \alpha u \frac{\partial u}{\partial x} + g \frac{\partial h}{\partial x} + g \frac{\partial E}{\partial x} = g (lo - \frac{u^2}{C^2 R}) (= g I) \quad \dots (1)$$

$$\frac{\partial h}{\partial t} + u \frac{\partial u}{\partial t} + u \frac{\partial h}{\partial x} = - \frac{R u}{B} \frac{\partial B}{\partial x} (= W) \quad \dots \dots (2)$$

ここで、 α はエネルギー補正係数(≈ 1.0)、gは重力加速度、 lo は平均河床勾配($lo = \sin \theta$)、CはChezyの係数、Rは径深、 R/C は摩擦勾配である。

流砂の運動方程式および連続式は

$$\frac{\partial p}{\partial x} = A_s \left(\frac{u^2}{C^2 R} \right)^P \quad (3) \quad \frac{\partial z}{\partial t} + \frac{1}{(2P+1)} B \frac{\partial (B z)}{\partial x} = 0 \quad (4)$$

ここで、 A_s 、Pは定数(Brown公式によると、 $A_s = 10$ 、 $P = 2$)

ρ は、砂れきの密度、 d_s は、砂れきの平均粒径、 f は水の粘度、 q_B は、単位幅当たりの流砂量(体積)、 u_{hs} は、摩擦速度、 λ は、砂の空隙率である。Manningの抵抗法則を用いて整理し、未知量u、h、Eの全微分の関係を用いると未知量の6つの微小変動に關する6つの関係式となる。

$$\begin{vmatrix} 1 & du & 0 & g & 0 & g \\ 0 & R & 1 & u & 0 & 0 \\ 0 & X & 0 & -m_1 & 1 & 0 \\ dt & dx & 0 & 0 & 0 & 0 \\ 0 & 0 & dt & dx & 0 & 0 \\ 0 & 0 & 0 & 0 & dt & dx \end{vmatrix} \begin{vmatrix} \frac{\partial u}{\partial t} \\ \frac{\partial u}{\partial x} \\ \frac{\partial h}{\partial t} \\ \frac{\partial h}{\partial x} \\ \frac{\partial E}{\partial t} \\ \frac{\partial E}{\partial x} \end{vmatrix} = \begin{vmatrix} g I \\ W \\ m_2 \\ du \\ dh \\ dE \end{vmatrix} \quad \dots \dots (5)$$

$$\therefore \therefore \therefore \quad x = (2P+1) k d^{1-P} C^{2P-1} u^{2P} / (1-\lambda), \quad K = A_s \sqrt{g} / (\alpha f - 1)^P,$$

$$m_1 = K (2P+1) R^{1/2} d^{1-P} C^{-2P-2} u^{2P+1} / 6 \pi^2 n (1-\lambda), \quad m_2 = K d^{1-P} C^{-2P-1} u^{2P+1} \{ R (2P+1) / 3B - 1 \} (dh/dx) / B (1-\lambda), \quad \text{未知量の微小変動の位}$$

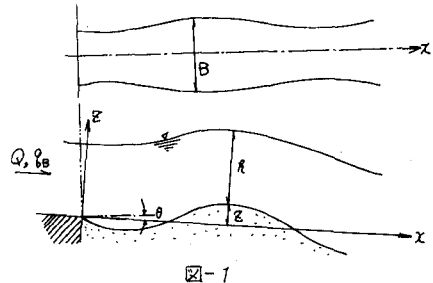


図-1

表-1

砂の平均粒径: 0.6mm	マニングのn: 0.027
砂の密度: 2.65	平均河床勾配: 1/1000
砂の空隙率: 0.45	

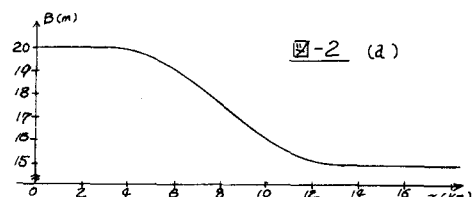


図-2 (a)

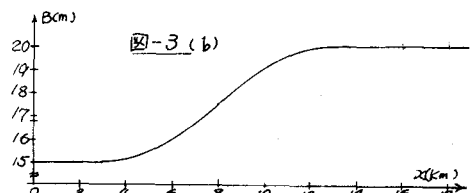


図-3 (b)

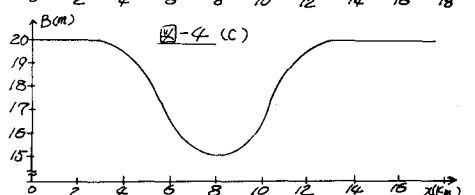


図-4 (c)

る関係式はそれそれつきのようにえられる。

$$r^2 - 2ar^2 - (gh - u^2 + gX)r + g(Xu + M_r) = 0 \quad \dots \dots (6)$$

$$\{r(u-r)/g\}du + (M_r - r)dr + (u-r)dz$$

$$= \{I_r(u-r) + (u-r)M_r + (M_r - r)W\}dt \quad \dots \dots (7)$$

ここに、 $r = dx/dt$ である。この(6)(7)式を差分化して数値計算を実施した。

2 計算モデルとその結果の考察

幅の変わらぬ水路として、図2～4の3タイプを設定した。又、河床の各データを表-1に示す。次に、上流端($X = 0$)においては、河床は固定床として上流からの砂の補給は常にあるものとする。以上の条件のもとに、インプット流入量としては、洪水流と、流量一定との2通りの場合について計算を行なった。図5～7に、流量一定の場合の河床変動の推移を、図8～10に、 $\Delta h/dxdt$ と X 、 t との関係を示す。

(a)の場合 クm付近まで堆積し、11km～12km付近でせん場のピークをむかえ、以後は、ほぼ $Z=0$ に近づき、わずかではあるが堆積されるという結果が得られた。

(b)の場合 河床は4km付近で、最もせん場され、11km付近で堆積がピークとなり、時間とともに、下流へ移行することがわかる。

(c)の場合 これは、 $X=8km$ 付近で狭くなる、いわゆるベンチリ・フルームの様な水路を、設定したものである。予想されたように、8km付近で最も河床がせん場される結果となる。図10に示す様に黒次元掃流砂量は $X=10km$ 付近で最大を示し、時間の経過とともに、そのピークは上流に移行し、絶対値も小さくなる。

上記はいずれも流量一定の場合であるが、図2～4の3つのタイプを用い、ピーク流量90.2m³/secの単峰性の洪水流に対しても計算を行なった。計算結果は既述の図5～10の結果と定量的にも定性的にもほぼ類似している。しかし同程度の洗掘深または堆積厚になるまでの経過時間を見ると、後者は前者よりも長い時間を必要とし、計算例では約1.5倍であった。なお河幅を一定にして、他の条件を変えない場合の計算も行なった。この場合は一般に河床変動量がオーダー的に非常に小さい。これは流入水量の変化による影響よりも、河幅の変化が与える影響が支配的であることによることと思われる。

全体の計算結果を通じて、定量的には、疑問視せざるをえない面もあるが、定性的には、ほぼ河床変動の動向をとらえていると思われる。今後の課題としては詳しい水理実験を行ない、その結果と本研究との比較であると考える。

1) 織賀義三 「特性曲線法による河床変動の解析」13回水理研, 1967

2) M. de Vries; "Considerations about Non-Steady Bed-Load Transport in Open Channels" Proc. 11th Congress of the I.A.H.R., 1965

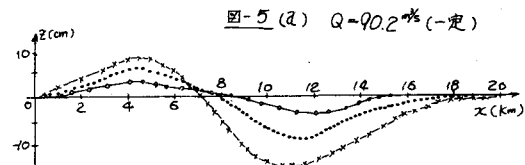


図-5(a) $Q = 90.2 \text{ m}^3/\text{sec}$ (一定)

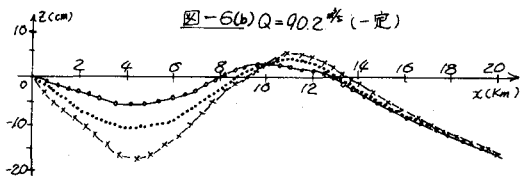


図-5(b) $Q = 90.2 \text{ m}^3/\text{sec}$ (一定)

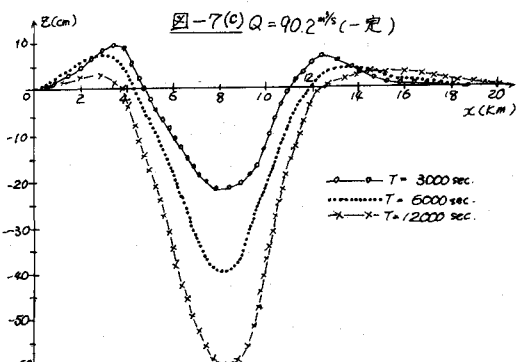


図-5(c) $Q = 90.2 \text{ m}^3/\text{sec}$ (一定)

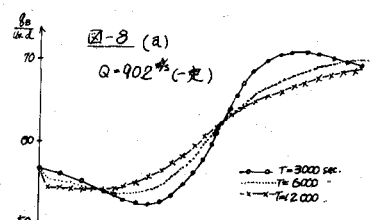


図-6(a) $Q = 90.2 \text{ m}^3/\text{sec}$ (一定)

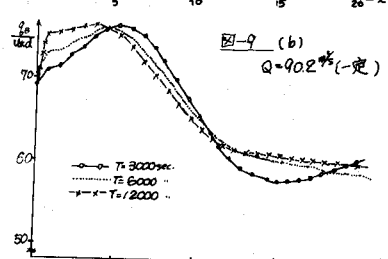


図-6(b) $Q = 90.2 \text{ m}^3/\text{sec}$ (一定)

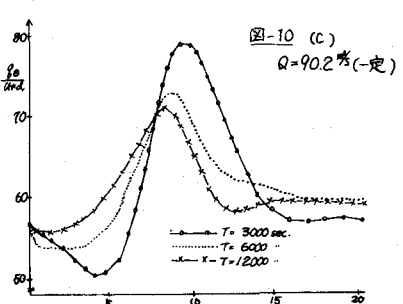


図-6(c) $Q = 90.2 \text{ m}^3/\text{sec}$ (一定)